

УДК 532.5

ВЛИЯНИЕ ПОВЕРХНОСТНОГО ИЗЛУЧЕНИЯ НА ТЕПЛОВУЮ КОНВЕКЦИЮ  
ВО ВРАЩАЮЩЕЙСЯ КУБИЧЕСКОЙ ПОЛОСТИ

С.А. Михайленко

Научный руководитель: доцент, д.ф.-м.н. М.А. Шеремет

Национальный исследовательский Томский государственный университет,

Россия, г. Томск, пр. Ленина, 36, 634050

E-mail: [stepanmihaylenko@gmail.com](mailto:stepanmihaylenko@gmail.com)

## EFFECT OF SURFACE RADIATION ON THERMAL CONVECTION IN A ROTATING CUBIC CAVITY

S.A. Mikhailenko

Scientific Supervisor: Assoc. Prof., Dr. M.A. Sheremet

Tomsk State University, Russia, Tomsk, Lenin str., 36, 634050

E-mail: [stepanmihaylenko@gmail.com](mailto:stepanmihaylenko@gmail.com)

**Abstract.** An investigation of convective heat transfer under an effect of thermal radiation in a rotating cubic cavity has been carried out numerically. Vertical left wall is heated, vertical right wall is cooled, and other walls of the cavity are insulated. The cavity rotates at a constant angular velocity in counterclockwise direction relative to z-axis. The cavity is filled with a fluid satisfying the Boussinesq approximation. Fluid is Newtonian and incompressible and all physical parameters are not dependent on a temperature. All surfaces inside the cavity are reflectors and emitters of thermal radiation, while the medium is transparent to thermal radiation. The system of governing equations is written in dimensionless non-primitive variables and solved by the finite difference method. The effect of surface emissivity on fluid flow and heat transfer has been studied.

**Введение.** Анализ конвективного теплообмена важен в широком множестве инженерных приложений. Не менее важным является учет теплообмена излучением. При правильном подборе материалов и их отражающих свойств можно добиться усиления теплообмена. Интересной областью исследований является теплообмен в условиях вращения. Вращающиеся системы часто встречаются при решении множества технических задач, например, проектировании роторных теплообменников [1] или проектировании систем охлаждения электронного оборудования [2, 3]. На рисунке 1 изображена область

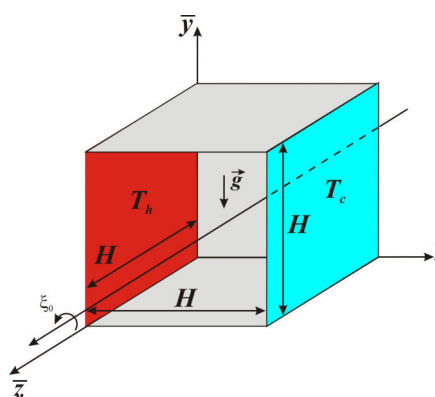


Рис. 1. Область решения задачи

решения рассматриваемой задачи. Имеется кубическая полость размера  $H$ , левая стенка которой нагревается, правая охлаждается, а все остальные стенки являются теплоизолированными. Полость вращается с постоянной угловой скоростью  $\omega_0$  вокруг оси, проходящей через центр области решения параллельно оси  $\bar{z}$ . Внутренние поверхности стенок являются серыми излучателями и отражателями энергии теплового излучения. Полость заполнена жидкостью, удовлетворяющей приближению Буссинеска. Жидкость с  $Pr = 0.7$  является ньютоновской и несжимаемой, и все

физические параметры не зависят от температуры. Жидкость, заполняющая полость, является прозрачной для излучения. Конвективное течение и теплоперенос моделируются в ламинарном приближении.

**Математическая постановка.** Система уравнений, описывающая движение жидкости и теплоперенос, записана с помощью безразмерных переменных «векторный потенциал – вектор завихренности» [4] и выглядит следующим образом:

$$\begin{aligned} \frac{\partial^2 \psi_x}{\partial x^2} + \frac{\partial^2 \psi_x}{\partial y^2} + \frac{\partial^2 \psi_x}{\partial z^2} &= -\omega_x \\ \frac{\partial^2 \psi_y}{\partial x^2} + \frac{\partial^2 \psi_y}{\partial y^2} + \frac{\partial^2 \psi_y}{\partial z^2} &= -\omega_y \end{aligned} \quad (1)$$

$$\begin{aligned} \frac{\partial^2 \psi_z}{\partial x^2} + \frac{\partial^2 \psi_z}{\partial y^2} + \frac{\partial^2 \psi_z}{\partial z^2} &= -\omega_z \\ \frac{\partial \omega_x}{\partial \tau} + u \frac{\partial \omega_x}{\partial x} + v \frac{\partial \omega_x}{\partial y} + w \frac{\partial \omega_x}{\partial z} - \omega_x \frac{\partial u}{\partial x} - \omega_y \frac{\partial u}{\partial y} - \omega_z \frac{\partial u}{\partial z} &= \\ = \frac{1}{\sqrt{\text{Ta}}} \left( \frac{\partial^2 \omega_x}{\partial x^2} + \frac{\partial^2 \omega_x}{\partial y^2} + \frac{\partial^2 \omega_x}{\partial z^2} \right) - \frac{\text{Ra}}{\text{Pr} \cdot \text{Ta}} \frac{\partial \theta}{\partial z} \cos(\tau) + 2 \frac{\partial u}{\partial z} \end{aligned} \quad (2)$$

$$\begin{aligned} \frac{\partial \omega_y}{\partial \tau} + u \frac{\partial \omega_y}{\partial x} + v \frac{\partial \omega_y}{\partial y} + w \frac{\partial \omega_y}{\partial z} - \omega_x \frac{\partial v}{\partial x} - \omega_y \frac{\partial v}{\partial y} - \omega_z \frac{\partial v}{\partial z} &= \\ = \frac{1}{\sqrt{\text{Ta}}} \left( \frac{\partial^2 \omega_y}{\partial x^2} + \frac{\partial^2 \omega_y}{\partial y^2} + \frac{\partial^2 \omega_y}{\partial z^2} \right) + \frac{\text{Ra}}{\text{Pr} \cdot \text{Ta}} \frac{\partial \theta}{\partial z} \sin(\tau) + 2 \frac{\partial v}{\partial z} \end{aligned} \quad (3)$$

$$\begin{aligned} \frac{\partial \omega_z}{\partial \tau} + u \frac{\partial \omega_z}{\partial x} + v \frac{\partial \omega_z}{\partial y} + w \frac{\partial \omega_z}{\partial z} - \omega_x \frac{\partial w}{\partial x} - \omega_y \frac{\partial w}{\partial y} - \omega_z \frac{\partial w}{\partial z} &= \\ = \frac{1}{\sqrt{\text{Ta}}} \left( \frac{\partial^2 \omega_z}{\partial x^2} + \frac{\partial^2 \omega_z}{\partial y^2} + \frac{\partial^2 \omega_z}{\partial z^2} \right) + \frac{\text{Ra}}{\text{Pr} \cdot \text{Ta}} \left\{ \frac{\partial \theta}{\partial x} \cos(\tau) - \frac{\partial \theta}{\partial y} \sin(\tau) \right\} + 2 \frac{\partial w}{\partial z} \end{aligned} \quad (4)$$

$$\frac{\partial \theta}{\partial \tau} + u \frac{\partial \theta}{\partial x} + v \frac{\partial \theta}{\partial y} + w \frac{\partial \theta}{\partial z} = \frac{1}{\text{Pr} \cdot \sqrt{\text{Ta}}} \left( \frac{\partial^2 \theta}{\partial x^2} + \frac{\partial^2 \theta}{\partial y^2} + \frac{\partial^2 \theta}{\partial z^2} \right) \quad (5)$$

где Ra – число Рэлея; Pr – число Прандтля; Ta – число Тейлора;  $\theta$  – безразмерная температура;  $\psi_x, \psi_y, \psi_z$  – безразмерные компоненты векторного потенциала;  $\omega_x, \omega_y, \omega_z$  – безразмерные проекции завихренности;  $x, y, z$  – безразмерные координаты;  $u, v, w$  – безразмерные проекции скорости;  $t$  – безразмерное время.

Исследования проводятся при следующих начальных и граничных условиях:

$$\tau = 0: \quad \psi_x = \psi_y = \psi_z = \omega_x = \omega_y = \omega_z = \theta = 0 \quad \text{при } 0 \leq x \leq 1, 0 \leq y \leq 1 \text{ и } 0 \leq z \leq 1$$

$$\tau > 0: \quad \frac{\partial \psi_x}{\partial x} = \psi_y = \psi_z = 0, \quad \vec{\omega} = -\nabla^2 \vec{\psi}, \quad \theta = 1 \quad \text{при } x = 0, \quad 0 \leq y \leq 1 \text{ и } 0 \leq z \leq 1$$

$$\frac{\partial \psi_x}{\partial x} = \psi_y = \psi_z = 0, \quad \vec{\omega} = -\nabla^2 \vec{\psi}, \quad \theta = 0 \quad \text{при } x = 1, \quad 0 \leq y \leq 1 \text{ и } 0 \leq z \leq 1$$

$$\psi_x = \frac{\partial \psi_y}{\partial y} = \psi_z = 0, \quad \vec{\omega} = -\nabla^2 \vec{\psi}, \quad \frac{\partial \theta}{\partial y} = N_{\text{rad}} Q_{\text{rad}} \quad \text{при } y = 0 \text{ и } y = 1, \quad 0 \leq x \leq 1 \text{ и } 0 \leq z \leq 1$$

$$\psi_x = \psi_y = \frac{\partial \psi_z}{\partial z} = 0, \quad \vec{\omega} = -\nabla^2 \vec{\psi}, \quad \frac{\partial \theta}{\partial z} = N_{\text{rad}} Q_{\text{rad}} \quad \text{при } z = 0 \text{ и } z = 1, \quad 0 \leq y \leq 1 \text{ и } 0 \leq x \leq 1$$

где  $N_{\text{rad}}$  – радиационное число,  $Q_{\text{rad}}$  – безразмерный радиационный тепловой поток.

Для анализа радиационного теплообмена между поверхностями используется метод сальдо [5]. Безразмерная плотность радиационного потока  $Q_{\text{rad},k}$ , подводимого к  $k$ -ой поверхности, определяется с помощью плотности потока эффективного излучения  $R_k$  для  $k$ -ой поверхности:

$$Q_{\text{rad},k} = R_k - \sum_{i=1}^{NS} F_{k-i} R_i, \quad R_k = (1 - \varepsilon_k) \sum_{i=1}^{NS} F_{k-i} R_i + \varepsilon_k (1 - \gamma)^4 \left( \theta_k + 0.5 \frac{1 + \gamma}{1 - \gamma} \right)^4.$$

Здесь  $F_{k-i}$  – угловой коэффициент,  $\varepsilon_k$  – коэффициент излучения,  $\theta_k$  – температура  $k$ -ой поверхности,  $\gamma$  – температурный параметр,  $NS$  – количество поверхностей.

Полученная система уравнений с соответствующими начальными и граничными условиями решена методом конечных разностей на равномерной сетке. Уравнения Пуассона для векторного потенциала (1) аппроксимируются с помощью семиточечной разностной схемы. Полученная система линейных алгебраических уравнений решалась методом последовательной верхней релаксации. Уравнения дисперсии компонент вектора завихренности (2)–(4) и энергии (5) решались на основе локально-одномерной схемы Самарского. Диффузионные слагаемые аппроксимировались центральными разностями, конвективные – при помощи монотонной схемы А.А. Самарского. Полученные системы уравнений решались методом прогонки. Интенсивность теплообмена определяется с помощью средних конвективного и радиационного чисел Нуссельта на левой нагретой стенке ( $x = 0$ ):

$$\overline{Nu}_{\text{con}} = \int_0^1 \int_0^1 \frac{\partial \theta}{\partial x} dy dz, \quad \overline{Nu}_{\text{rad}} = N_{\text{rad}} \int_0^1 \int_0^1 Q_{\text{rad}} dy dz$$

**Результаты.** Численное моделирование конвективно-радиационного теплопереноса в кубической вращающейся полости проводилось при числе Рэлея  $Ra = 10^5$ , числе Прандтля  $Pr = 0.7$ , числе Тейлора  $Ta = 10^4$  и коэффициента излучения  $0 < \varepsilon < 0.9$ . Результаты получены после достаточного количества оборотов полости для достижения периодических изменений, как в картине течения, так и в поле температуры. Получены распределения скорости и температуры в области решения для различных углов поворота полости. Исследованы изменения интенсивности течения жидкости, среднего конвективного числа Нуссельта и среднего радиационного числа Нуссельта в течение полного оборота полости. Установлено, что повышение коэффициента излучения может привести к усилению теплообмена.

Работа выполнена в рамках реализации проекта Российского фонда фундаментальных исследований (соглашение № 20-31-90081).

#### СПИСОК ЛИТЕРАТУРЫ

1. Huang S.-C., Wang C.-C., Liu, Y.-H. Heat transfer measurement in a rotating cooling channel with staggered and inline pin-fin arrays using liquid crystal and stroboscopy // International Journal of Heat and Mass Transfer. – 2017. – Vol. 115. – P. 364–376.
2. Jin L.F., Tou K.W., Tso C.P. Experimental and numerical studies on a rotating cavity with discrete heat sources with conjugate effects // Experimental Heat Transfer. – 2005. – Vol. 18. – P. 259–277.
3. Tso C.P., Jin L.F., Tou K. W. Numerical segregation of the effects of body forces in a rotating, differentially heated enclosure // Numerical Heat Transfer A. – 2007. – Vol. 51. – P. 85–107.
4. Gibanov N.S., Sheremet M.A. Natural convection in a cubical cavity with different heat source configurations // Thermal Science and Engineering Progress. – 2018. – Vol. 7 – P. 138–145.
5. Зигель Р., Хауэлл Д. Теплообмен излучением. — М.: Мир, 1975. – 934 с.